

СПЕКТР КВАЗИГАРМОНИЧЕСКОГО КОЛЕБАНИЯ: побочные составляющие и фазовые шумы

ОПРЕДЕЛЕНИЯ

- $\mathcal{L}(F) = \frac{S_\varphi(F)}{2}$
- Приведение СПМ ФШ на частоте колебания f_A к СПМ ФШ на частоте колебания f_B :

$$S_{\varphi A} \rightarrow S_{\varphi A} + 20 \lg \frac{f_B}{f_A}$$

СОКРАЩЕНИЯ

- АМ – амплитудно-модулированный
- АШ – амплитудный шум
- ГУН – (авто)Генератор, Управляемый (по частоте) Напряжением
- ДБС – двойной балансный смеситель
- дБн – относительный уровень мощности в децибелах относительно несущей
- ПС – побочная составляющая (в спектре); в ГОСТе: *побочное* колебание
- ПЧ – промежуточная частота
- РЧ – радиочастота
- СПМ – спектральная плотность мощности
- ФАПЧ – фазовая автоподстройка частоты
- ФД – фазовый детектор
- ФМ – фазово-модулированный
- ФШ – фазовый шум

ОБОЗНАЧЕНИЯ

- $f_{\text{вх}}$ – частота входного колебания
- $f_{\text{ПЧ}}$ – промежуточная частота
- $f_{\text{РЧ}}$ – радиочастота
- f_{Γ} – частота гетеродина
- F или $F_{\text{отс}}$ – частота отстройки от несущей (или отстройка)
- $\{n; m\}$ – побочная составляющая с частотой $|nf_{\Gamma} + mf_{\text{вх}}|$ ($n, m \in \mathbb{Z}, n \geq 0$)
- $\alpha \parallel \beta = \frac{\alpha \beta}{\alpha + \beta}$
- $S_\varphi(F)$ – СПМ ФШ
- $\mathcal{L}(F)$ – СПМ ФШ

1 Двойной балансный смеситель. Побочные составляющие

1.1 Спектр выходного колебания

В общем случае в спектре на выходе двойного балансного смесителя (ДБС) содержатся колебания с *комбинационными частотами* $|nf_\Gamma + mf_{\text{вх}}|$ ($n, m \in \mathbb{Z}, n \geq 0$) (такие колебания будем обозначать парой чисел $\{n; m\}$). $f_{\text{вх}}$ может быть $f_{\text{РЧ}}$ либо $f_{\text{ПЧ}}$ в зависимости от схемы включения ДБС (Рисунок 1).

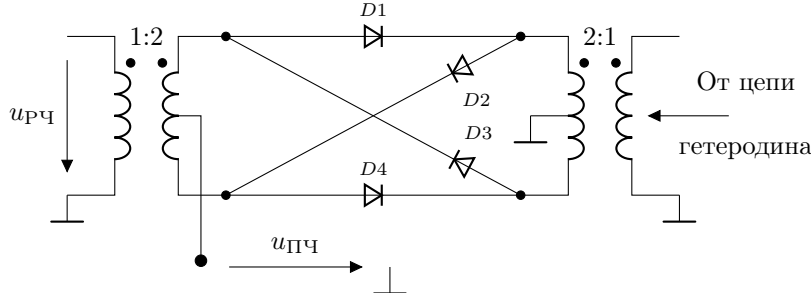


Рисунок 1 – Двойной балансный смеситель

В практике ДБС разрабатывают и применяют, стремясь удовлетворить следующим требованиям:

- симметричные половины вторичных обмоток трансформаторов;
- одинаковые диоды;
- отсутствие потерь в трансформаторах и диодах;
- мгновенное переключение диодов током гетеродина из короткозамкнутого состояния в разомкнутое и обратно;
- частотно независимые действительные импедансы генераторов и нагрузок.

Выходное напряжение $u_{\text{вых}}(t)$ такого устройства получается произведением входного напряжения $u_{\text{вх}}(t)$ на функцию переключения $\Pi(t)$:

$$u_{\text{вых}}(t) = u_{\text{вх}}(t) \Pi(t), \quad (1.1)$$

где

$$\Pi(t) = \operatorname{sgn}(\cos \omega_\Gamma t) = \sum_{\substack{n=1 \\ (n-\text{нечёт})}}^{\infty} A_n \cos n\omega_\Gamma t, \quad (1.2)$$

где $A_n = \frac{4}{n\pi} (-1)^{\frac{n-1}{2}}$.

При $u_{\text{вх}}(t) = U_{\text{вх}} \cos \omega_{\text{вх}} t$ в спектре $u_{\text{вых}}(t)$ содержатся колебания **не всех** комбинационных частот $\{n; m\}$, а только $\{n; \pm 1\}$, где n – нечётное:

$$u_{\text{вых}}(t) = \frac{2}{\pi} U_{\text{вх}} (\cos(\omega_\Gamma - \omega_{\text{вх}}) t + \cos(\omega_\Gamma + \omega_{\text{вх}}) t) - \frac{2}{3\pi} U_{\text{вх}} (\cos(3\omega_\Gamma - \omega_{\text{вх}}) t + \cos(3\omega_\Gamma + \omega_{\text{вх}}) t) + \dots$$

1.2 Относительный уровень составляющих спектра

Одно из колебаний в спектре считают полезным (чаще всего колебание, у которого $n = |m| = 1$) и называют **несущей** (carrier). Остальные колебания называют **побочными** колебаниями или побочными составляющими (ПС). ПС характеризуют уровнем её мощности $P_{\text{пбч}}$ относительно мощности несущей $P_{\text{нек}}$. Практически всегда относительный уровень мощности выражается в децибелах

$$10 \lg \left(\frac{P_{\text{пбч}}}{P_{\text{нек}}} \right) \quad (1.3)$$

Отсюда наименование единицы измерения такой величины: дБн (децибелы относительно несущей; dBc в англоязычной литературе).

Для модели из п. 1.1 уровни побочных колебаний $\{n; \pm 1\}$ равны

$$-10 \lg n^2 = -20 \lg n \quad (1.4)$$

2 Двойной балансный смеситель: уточнённая модель

2.1 Влияние входного напряжения на переключение диодов

Одно из допущений п. 1.1 предполагало мгновенное переключение диодов током гетеродина из короткозамкнутого состояния в разомкнутое и наоборот. Такие переключения происходили, когда напряжение гетеродина меняло знак. Но наличие ненулевого $u_{\text{вх}}(t)$ приведёт к отклонению от такого закона переключения, и, следовательно, к изменению вида $\Pi(t)$. При этом для обсуждения удобно переписать (1.2) в виде

$$\Pi(t) = \Pi_+(t) + \Pi_-(t), \quad (2.1)$$

где $\Pi_+(t) = \frac{1}{2} + \frac{1}{2} \operatorname{sgn}(\cos \omega_{\Gamma} t)$, $\Pi_-(t) = -\frac{1}{2} + \frac{1}{2} \operatorname{sgn}(\cos \omega_{\Gamma} t)$.

Рассмотрим эффект от влияния $u_{\text{вх}}(t)$ на примере преобразования частоты вверх, то есть когда $u_{\text{вх}}(t) = u_{\text{ПЧ}}(t)$, считая, что $u_{\text{ПЧ}}(t)$ мало по сравнению с амплитудой напряжения гетеродина U_{Γ} . Наличие $u_{\text{ПЧ}}(t) \neq 0$ приводит к тому, что при каждом переключении один диод из каждой пары на время $\Delta t \approx \frac{|u_{\text{ПЧ}}(t)|}{2\pi f_{\Gamma} U_{\Gamma}}$ будет закрыт до и на Δt после момента изменения знака напряжения гетеродина. Это приведёт к тому, что в окрестности точки переключения напряжение $u_{\text{вых}}(t)$ будет оставаться равным нулю в течение $2\Delta t$. Тогда если, например, для $\Pi_+(t)$ это равносильно фазовому сдвигу на $\varphi(t) = \frac{|u_{\text{ПЧ}}(t)|}{U_{\Gamma}}$, то для $\Pi_-(t)$ – наоборот, сдвигу на $-\varphi(t)$. То есть $\Pi_+(t) = \frac{1}{2} + \frac{1}{2} \operatorname{sgn}(\cos(\omega_{\Gamma} t + \varphi(t)))$, а $\Pi_-(t) = -\frac{1}{2} + \frac{1}{2} \operatorname{sgn}(\cos(\omega_{\Gamma} t - \varphi(t)))$. Эти функции описываются с помощью рядов вида (1.2) с заменой $\omega_{\Gamma} t$ на $\omega_{\Gamma} t \pm \varphi(t)$. Эти ряды содержат члены вида $A_n \cos(n(\omega_{\Gamma} t \pm \varphi(t)))$. Каждый такой член разлагается на два слагаемых:

$$A_n \cos(n(\omega_{\Gamma} t \pm \varphi(t))) = A_n \cos(n\omega_{\Gamma} t) \cos(\pm n\varphi(t)) - A_n \sin(n\omega_{\Gamma} t) \sin(\pm n\varphi(t)).$$

Первое слагаемое содержит сомножитель $\cos(\pm n\varphi(t))$, который можно переписать в виде $\cos\left(n \frac{u_{\text{ПЧ}}(t)}{U_{\Gamma}}\right)$, поскольку косинус – чётная функция, её значение не зависит от знака аргумента. Второе слагаемое содержит сомножитель $\sin(\pm n\varphi(t))$, который можно записать в виде $\pm \sin(n\varphi(t))$, поскольку синус – нечётная функция. Следовательно, при почленном суммировании рядов, представляющих $\Pi_+(t)$ и $\Pi_-(t)$, слагаемые первого вида просуммируются, а второго вида – исчезнут, то есть

$$\Pi(t) = \Pi_+(t) + \Pi_-(t) = \sum_{\substack{n=1 \\ (n-\text{нечет})}}^{\infty} A_n \cos(n\omega_{\Gamma} t) \cos\left(n \frac{u_{\text{ПЧ}}(t)}{U_{\Gamma}}\right). \quad (2.2)$$

Само уравнение для $u_{\text{вых}}(t)$ остаётся тем же по форме: $u_{\text{вых}}(t) = u_{\text{ПЧ}}(t) \Pi(t)$.

2.2 Функции Бесселя

При рассмотрении воздействия на ДБС входных синусоидальных колебаний вида $\varepsilon \sin x$ удобно пользоваться соотношением

$$\cos(\varepsilon \sin x) = J_0(\varepsilon) + 2 \sum_{\substack{k=2 \\ (k-\text{чет})}}^{\infty} J_k(\varepsilon) \cos kx, \quad (2.3)$$

где $J_k(\varepsilon) = \sum_{l=0}^{\infty} \frac{(-1)^l}{l!(k+l)!} \left(\frac{\varepsilon}{2}\right)^{k+2l}$ – функция Бесселя 1-го рода k -го порядка.

Поскольку в задачах, связанных с ДБС, часто $\varepsilon < 1$, на практике часто достаточно пользоваться только первыми членами ряда Тейлора:

$$\begin{aligned} J_0(\varepsilon) &\approx 1 \\ J_1(\varepsilon) &\approx \frac{\varepsilon}{2} \\ J_2(\varepsilon) &\approx \frac{1}{2} \left(\frac{\varepsilon}{2}\right)^2 \\ &\dots \\ J_k(\varepsilon) &= \frac{1}{k!} \left(\frac{\varepsilon}{2}\right)^k. \end{aligned}$$

Из этих соотношений также видно, что значения этих функций быстро убывают с ростом k .

2.3 Спектр при преобразовании вверх: $u_{\text{вх}}(t) = u_{\text{ПЧ}}(t)$

Пусть $u_{\text{ПЧ}}(t) = U_{\text{ПЧ}} \sin \omega_{\text{ПЧ}} t$, а $\varepsilon = \frac{U_{\text{ПЧ}}}{U_{\Gamma}}$ (если колебания ПЧ и гетеродина поступают от генераторов с одинаковыми внутренними сопротивлениями, то отношение их мощностей ε^2). Тогда

$$\Pi(t) = \sum_{\substack{n=1 \\ (n-\text{нечет})}}^{\infty} A_n \cos(n\omega_{\Gamma}t) \cos(n\varepsilon \sin \omega_{\text{ПЧ}} t). \quad (2.4)$$

Пользуясь (2.3), рассмотрим сначала спектральные составляющие, порождаемые первым членом этой суммы $A_1 \cos(\omega_{\Gamma}t) \cos(\varepsilon \sin \omega_{\text{ПЧ}} t)$:

$$J_0(\varepsilon) A_1 \cos(\omega_{\Gamma}t) + \sum_{\substack{k=2 \\ (k-\text{чет})}}^{\infty} J_k(\varepsilon) A_1 \cos((\omega_{\Gamma} - k\omega_{\text{ПЧ}})t) + \sum_{\substack{k=2 \\ (k-\text{чет})}}^{\infty} J_k(\varepsilon) A_1 \cos((\omega_{\Gamma} + k\omega_{\text{ПЧ}})t).$$

Каждый член этой суммы умножим на $U_{\text{ПЧ}} \sin \omega_{\text{ПЧ}} t$ и выпишем только получившиеся составляющие и их амплитуды:

$$\begin{aligned} k = 0 : & \{1, \pm 1\} \quad \frac{J_0(\varepsilon)|A_1|}{2} U_{\text{ПЧ}} \\ k = 2 : & \{1, \pm 3\} \quad \frac{J_2(\varepsilon)|A_1|}{2} U_{\text{ПЧ}}; \quad \{1, \pm 1\} \quad \frac{J_2(\varepsilon)|A_1|}{2} U_{\text{ПЧ}} \\ k = 4 : & \{1, \pm 5\} \quad \frac{J_4(\varepsilon)|A_1|}{2} U_{\text{ПЧ}}; \quad \{1, \pm 3\} \quad \frac{J_4(\varepsilon)|A_1|}{2} U_{\text{ПЧ}} \\ k = \dots : & \dots \quad \dots; \quad \dots \quad \dots \end{aligned}$$

Как видно, в каждой последующей строке есть та же составляющая, что и в предыдущей, но с амплитудой в $\frac{J_{k+2}(\varepsilon)}{J_k(\varepsilon)}$ раз меньше. Точное вычисление результирующей амплитуды каждой составляющей потребовало бы учёта обоих слагаемых, но поскольку функции Бесселя имеют значения резко убывающие с ростом k , то достаточно учесть только слагаемое, соответствующее наименьшему k . Также поскольку в первую очередь интересны относительные уровни составляющих, пронормируем все амплитуды к общему сомножителю $\frac{|A_1|}{2} U_{\text{ПЧ}}$:

$$\begin{aligned} k = 0 : & \{1, \pm 1\} \quad J_0(\varepsilon) \\ k = 2 : & \{1, \pm 3\} \quad J_2(\varepsilon) \\ k = 4 : & \{1, \pm 5\} \quad J_4(\varepsilon) \\ k = \dots : & \dots \quad \dots \end{aligned}$$

Распространив рассуждения, применённые к первому члену ряда (2.4), на остальные члены, получим, что при преобразовании частоты вверх относительные уровни амплитуд составляющих $\{n, \pm m\}$ равны $\frac{1}{n} \frac{J_{|m|-1}(n\varepsilon)}{J_0(n\varepsilon)}$ для нечётных $n, |m|$, и нулю – для чётных. Если аппроксимировать функции Бесселя первыми членами ряда Тейлора, то относительные уровни амплитуд составляющих $\{n, \pm 3\}$ для нечётных n будут приблизительно равны

$$\frac{n}{8} \varepsilon^2.$$

2.4 Спектр в других случаях

Выражение для записи фазового сдвига $\frac{|u_{\text{ПЧ}}(t)|}{U_{\Gamma}}$ было при произвольном допущении $u_{\text{вх}}(t) = u_{\text{ПЧ}}(t)$. Но полученные выше результаты могут быть распространены на случай, когда $u_{\text{вх}}(t)$ – колебание произвольной частоты $f_{\text{вх}}$. Тогда модуляция фазы будет происходить не с частотой $f_{\text{ПЧ}}$, а с частотой $|kf_{\Gamma} - f_{\text{вх}}|$, причём $k \in \mathbb{Z}, k \geq 0$ таково, что $|kf_{\Gamma} - f_{\text{вх}}| < \frac{f_{\Gamma}}{2}$.

3 Фазовый шум

3.1 Квазигармоническое колебание

Для описания спектра источника колебаний вблизи частоты колебаний вводится понятие квазигармонического колебания, описываемого выражением

$$u(t) = U_0(1 + a(t)) \cos(2\pi f_0 t + \varphi(t)), \quad (3.1)$$

где U_0 – среднее значение амплитуды колебания, f_0 – среднее значение частоты колебания, $\varphi(t)$ – флюктуации фазы (фазовый шум (ФШ), phase noise), $a(t)$ – относительные флюктуации амплитуды (амплитудный шум (АШ), amplitude noise).

3.2 Описание фазовых и амплитудных шумов

ФШ и АШ характеризуются своими спектральными плотностями мощности (СПМ) (power spectrum density (PSD)): S_φ и S_a . Частотным параметром этих СПМ является частота отстройки (от несущей) $F_{\text{отс}}$ (offset frequency) или просто F . Эти СПМ в большинстве случаев выражают в логарифмических единицах, то есть (на примере S_φ) вычисляют и используют значение $10 \lg S_\varphi$, сохраняя при этом то же самое обозначение величины.

Для ФШ используют ещё одну СПМ ФШ $\mathcal{L}(F_{\text{отс}})$, которая по определению (стандарт IEEE Std 1139™-2008, стр. 4...8)

$$\mathcal{L}(F_{\text{отс}}) = \frac{S_\varphi(F_{\text{отс}})}{2}. \quad (3.2)$$

Отличие при записи значений этих двух СПМ ФШ в их размерности:

- размерность S_φ : $\left[\frac{\text{дБ} \cdot \text{рад}^2}{\Gamma_{\Pi}} \right]$
- размерность \mathcal{L} : $\left[\frac{\text{дБ}}{\Gamma_{\Pi}} \right]$.

3.3 Форма СПМ ФШ автогенераторов

Простейшими источниками незатухающих колебаний являются автогенераторы. В большинстве случаев их СПМ ФШ описывается суммой степенных функций от F

$$S_\varphi(F) = \sum_{n=0}^3 b_{-n} F^{-n}. \quad (3.3)$$

При изображении в логарифмическом масштабе график степенной функции F^{-n} имеет вид прямой с наклоном $-10n$ дБ на декаду.

3.4 Синфазная и квадратурная составляющие

Когда $\varphi(t)$ и $a(t)$ – малы, квазигармоническое колебание (3.1) можно приближённо рассматривать как сумму трёх колебаний

$$u(t) \approx U_0 \cos 2\pi f_0 t + U_c(t) \cos 2\pi f_0 t - U_s(t) \sin 2\pi f_0 t \quad (3.4)$$

- $U_c(t) \cos 2\pi f_0 t = u_c(t)$ – синфазное колебание
- $-U_s(t) \sin 2\pi f_0 t = u_s(t)$ – квадратурное колебание
- $U_c(t) = a(t) U_0$ – амплитуда синфазного колебания
- $U_s(t) = \varphi(t) U_0$ – амплитуда квадратурного колебания

Об этой теме подробнее можно узнать в:

1. Бунимович В.И. Флюктуационные процессы в радиоприемных устройствах, 1951, с.177-186.

2. Левин Б.Р. Теоретические основы статистической радиотехники, 1966, кн.1, с.203-207 («Широкополосные и узкополосные процессы»), с.669-681 («Угловая модуляция»). Можно найти те же разделы в других изданиях.
3. Жалуд В, Кулешов В.Н. Шумы в полупроводниковых устройствах, 1977, с.50-64.

4 Синтез частот: прямой синтез

На практике часто требуется из заданного опорного колебания с частотой $f_{\text{оп}}$ получить выходное колебание с частотой $f_{\text{вых}}$. Возможные решения этой задачи описываются термином *синтез частоты*. Существуют два вида синтеза: прямой и косвенный. (См. Ченакин А.В., Горевой А.В. Практическое построение синтезаторов частот СВЧ-диапазона, 2021, с.18-30.)

4.1 Преобразование частоты: арифметические операции

- Умножение частоты. Устройства, производящие эту операцию, используют нелинейное преобразование колебаний входной частоты $f_{\text{вх}}$ с последующим выделением её N -ой гармоники на выходе: $u_{\text{вых}}(t) = U_0 \cos(N2\pi f_{\text{вх}}t + N\varphi_{\text{вх}}(t))$. Флуктуации фазы выходного колебания $\varphi_{\text{вых}}(t)$ увеличены в N раз: $\varphi_{\text{вых}}(t) = N\varphi_{\text{вх}}(t)$. Поэтому СПМ ФШ увеличивается в N^2 раз:

$$S_{\varphi_{\text{вых}}} = N^2 S_{\varphi_{\text{вх}}} \iff S_{\varphi_{\text{вых}}} = S_{\varphi_{\text{вх}}} + 20 \lg N \text{ (в дБ).}$$

- Деление частоты. При делении частоты на N верно соотношение

$$S_{\varphi_{\text{вых}}} = N^{-2} S_{\varphi_{\text{вх}}} \iff S_{\varphi_{\text{вых}}} = S_{\varphi_{\text{вх}}} - 20 \lg N \text{ (в дБ)}$$

- Сложение и вычитание частот. Для этих операций используется смеситель, на входы которого поступают колебания, полученные из опорного и с частотами, пропорциональными $f_{\text{оп}}$: $f_{\text{вх}1} = q_1 f_{\text{оп}}$ и $f_{\text{вх}2} = q_2 f_{\text{оп}}$. Выходное колебание получается выделением либо суммарной, либо разностной частоты $f_{\text{вых}} = |q_1 \pm q_2| f_{\text{оп}}$. Поэтому СПМ ФШ изменяется в $(q_1 \pm q_2)^2$ раз:

$$S_{\varphi_{\text{вых}}} = (q_1 \pm q_2)^2 S_{\varphi_{\text{оп}}} \iff S_{\varphi_{\text{вых}}} = S_{\varphi_{\text{оп}}} - 20 \lg |q_1 \pm q_2| \text{ (в дБ)}$$

На этих операциях основано одно из решений задачи синтеза частоты (*прямой* синтез): получить $f_{\text{вых}}$ из $f_{\text{оп}}$ с помощью операций сложения, вычитания, умножения на рациональное число, деления на рациональное число.

4.2 Приведение фазовых шумов к требуемой частоте

Из сказанного выше следует, что прямой синтез, выполненный с помощью любого набора *нешумящих* устройств имеет на выходе СПМ ФШ $S_{\varphi_{\text{вых}}}$, зависящую только от СПМ ФШ опорного колебания $S_{\varphi_{\text{оп}}}$ и отношения выходной и опорной частот:

$$S_{\varphi_{\text{вых}}} = S_{\varphi_{\text{оп}}} + 20 \lg \frac{f_{\text{вых}}}{f_{\text{оп}}}. \quad (4.1)$$

Эта формула позволяет сравнивать опорные генераторы с различными частотами f_A и f_B по такому критерию: использование какого генератора выгоднее при прямом синтезе одной и той же $f_{\text{вых}}$? Для генератора A: $S_{\varphi_{\text{вых}}}^A = S_{\varphi_A} + 20 \lg \frac{f_{\text{вых}}}{f_A}$. Аналогично для B: $S_{\varphi_{\text{вых}}}^B = S_{\varphi_B} + 20 \lg \frac{f_{\text{вых}}}{f_B}$. Разница между $S_{\varphi_{\text{вых}}}^A$ и $S_{\varphi_{\text{вых}}}^B$ не зависит от $f_{\text{вых}}$. Поэтому для сравнения достаточно исследования неравенства

$$S_{\varphi_B} \leq S_{\varphi_A} + 20 \lg \frac{f_B}{f_A}.$$

В правой части неравенства стоит значение СПМ ФШ, которое получилось бы при прямом синтезе частоты f_B из частоты f_A :

$$S_{\varphi_A} + 20 \lg \frac{f_B}{f_A}.$$

Это значение СПМ ФШ S_{φ_A} , приведённого к частоте колебаний f_B . То есть для сравнения потенциальных возможностей генераторов при синтезе малошумящего колебания достаточно сравнить СПМ их ФШ, приведённых к одной частоте.

5 Синтез частот: косвенный синтез

(О косвенном синтезе: Ченакин А.В., Горевой А.В. Практическое построение синтезаторов частот СВЧ-диапазона, 2021, с.30-35.)

Другим видом синтеза частоты является *косвенный* синтез, то есть синтез с применением системы фазовой автоподстройки частоты (ФАПЧ). Ниже этот вид синтеза проиллюстрирован примером, имеющим широкое распространение. В этом случае система ФАПЧ, состоит из фазового детектора (ФД), делителя частоты на N ($\frac{1}{N}$), генератора, управляемого по частоте напряжением (ГУН), и цепи обратной связи (ОС) (Рисунок 2).

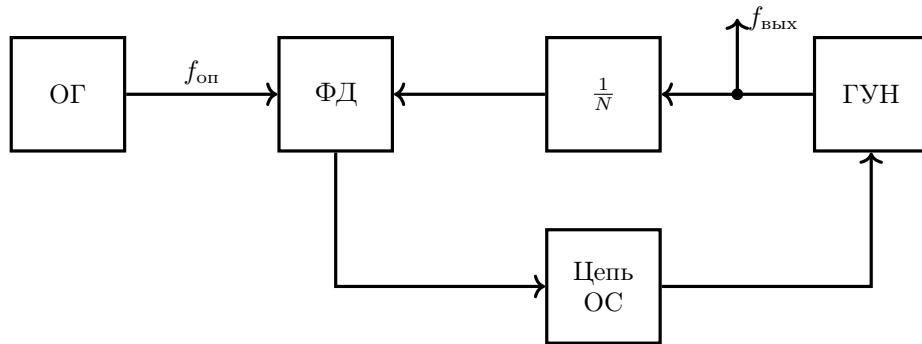


Рисунок 2 – Блок-схема кольца ФАПЧ с делителем частоты

В такой системе возможны следующие режимы синхронизма:

$$f_{\text{вых}} = N f_{\text{оп}}.$$

Если использовать делитель частоты с переменным коэффициентом деления, то получится *синтезатор сетки частот* с шагом $f_{\text{оп}}$.

5.1 Общие формулы

По линеаризованной структурной схеме кольца ФАПЧ (Рисунок 3) записываются основные соотношения, описывающие флюктуационные характеристики:

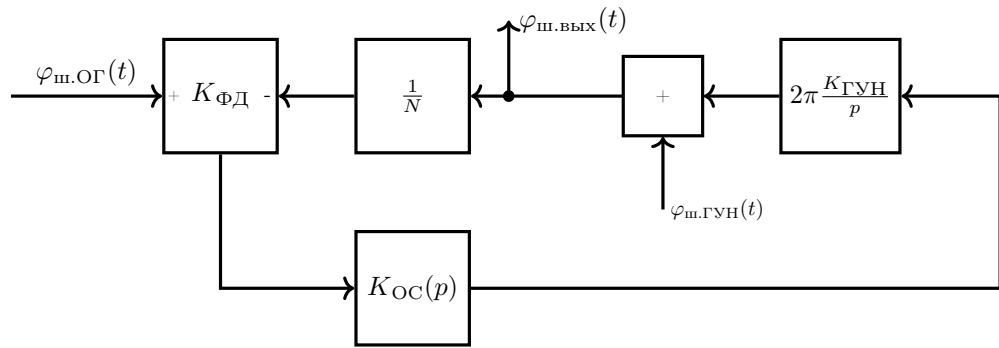


Рисунок 3 – Линеаризованная структурная схема кольца ФАПЧ с делителем частоты

$$\varphi_{\text{ш.вых}}(t) = K_{\text{ш.ОГ}}(p) \varphi_{\text{ш.ОГ}}(t) + K_{\text{ш.ГУН}}(p) \varphi_{\text{ш.ГУН}}(t),$$

где

- $K_{\text{ш.ОГ}}(p) = N \frac{K_{\text{ФД}}(p)}{1 + K_{\text{ФД}}(p)}$ – коэффициент передачи флюктуаций фазы ОГ к выходу;

- $K_{\text{ш.ГУН}}(p) = \frac{1}{1 + K_{\text{ГУН}}(p)}$ – коэффициент передачи флюктуаций фазы ГУН к выходу;

- $K_{\odot}(p) = 2\pi \frac{K_{\text{ОС}}(p) K_{\Phi\Delta} K_{\text{ГУН}}}{Np}$ – коэффициент передачи разомкнутого кольца ФАПЧ ($K_{\Phi\Delta} \left[\frac{\text{В}}{\text{рад}} \right]$, $K_{\text{ГУН}} \left[\frac{\Gamma_{\text{п}}}{\text{В}} \right]$).

Заменяя $p = j\Omega = j2\pi F$ и переходя к квадратам модулей коэффициентов передачи, получаем СПМ ФШ выходного колебания $S_{\varphi\text{вых}}$:

$$S_{\varphi\text{вых}} = |K_{\text{ш.ОГ}}(j\Omega)|^2 S_{\varphi\text{ОГ}} + |K_{\text{ш.ГУН}}(j\Omega)|^2 S_{\varphi\text{ГУН}}.$$

Правая часть этого выражения содержит в виде отдельных слагаемых:

- вклад ОГ в $S_{\varphi\text{вых}}$: $|K_{\text{ш.ОГ}}(j\Omega)|^2 S_{\varphi\text{ОГ}}$;
- вклад ГУН в $S_{\varphi\text{вых}}$: $|K_{\text{ш.ГУН}}(j\Omega)|^2 S_{\varphi\text{ГУН}}$.

5.2 Кольцо ФАПЧ 1-го порядка ($K_{\text{ОС}}(p) = A_0$)

Кольцо ФАПЧ 1-го порядка имеет частотно-независимый $K_{\text{ОС}}(p) = A_0$. Отсюда:

- $K_{\text{ш.ОГ}}(j\Omega) = N \frac{\frac{\Omega_1}{j\Omega}}{1 + \frac{\Omega_1}{j\Omega}} = N \frac{1}{1 + \frac{j\Omega}{\Omega_1}}$
- $K_{\text{ш.ГУН}}(j\Omega) = \frac{1}{1 + \frac{\Omega_1}{j\Omega}} = \frac{\frac{j\Omega}{\Omega_1}}{1 + \frac{j\Omega}{\Omega_1}}$

где $\Omega_1 = 2\pi F_1 = 2\pi \frac{A_0 K_{\Phi\Delta} K_{\text{ГУН}}}{N}$.

Эти выражения показывают, что $|K_{\text{ш.ОГ}}|^2$ имеет свойства ФНЧ, а $|K_{\text{ш.ГУН}}|^2$ – ФВЧ. Последний имеет подавление нижних частот отстроек, пропорциональное F^2 . Чтобы увеличить это подавление на этих отстройках, переходят к ФАПЧ с интегратором в обратной связи.

5.3 Кольцо ФАПЧ 2-го порядка ($K_{\text{ОС}}(p) = A_0 \left(1 + \frac{\Omega_{\text{и}}}{p}\right)$)

При введении *интегратора* в цепь ОС ($K_{\text{ОС}}(p) = A_0 \left(1 + \frac{\Omega_{\text{и}}}{p}\right)$, $\Omega_{\text{и}} = 2\pi F_{\text{и}}$) получается система ФАПЧ 2-го порядка с коэффициентами передачи

- $K_{\text{ш.ОГ}}(j\Omega) = N \frac{\frac{\Omega_1}{j\Omega} + \left(\frac{\Omega_2}{j\Omega}\right)^2}{1 + \frac{\Omega_1}{j\Omega} + \left(\frac{\Omega_2}{j\Omega}\right)^2}$
- $K_{\text{ш.ГУН}}(j\Omega) = \frac{1}{1 + \frac{\Omega_1}{j\Omega} + \left(\frac{\Omega_2}{j\Omega}\right)^2}$,

где $\Omega_2 = 2\pi F_2 = 2\pi \sqrt{F_1 F_{\text{и}}}$.

Теперь $|K_{\text{ш.ГУН}}|^2$ пропорционален F^4 на малых отстройках.